

## بررسی مدل‌های تجربی انتقال رسوبر در بندر لنگه

کامران لاری<sup>\*</sup>، سید محمد تقی ساداتی‌پور<sup>۲</sup> و مصطفی ممقانی<sup>۳</sup>

<sup>۱</sup>دانشکده علوم و فنون دریایی، دانشگاه آزاد اسلامی واحد تهران شمال، تهران k\_lari@iau-tnb.ac.ir

<sup>۲</sup>استادیار، دانشکده علوم و فنون دریایی، دانشگاه آزاد اسلامی واحد تهران شمال، تهران sadatipour1960@yahoo.com

<sup>۳</sup>نویسنده مسئول، کارشناسی ارشد علوم دریایی و اقیانوسی - هیدروگرافی، دانشگاه آزاد اسلامی واحد تهران شمال، تهران m.mamaghani@yahoo.com

تاریخ پذیرش: ۹۵/۱۱/۲۰

تاریخ دریافت: ۹۵/۱۰/۱

### چکیده

یکی از مشکلات بنادر موضوع رسوبر گذاری در حوضچه و کanal دسترسی بنادر و تغییرات ساحل و بستر دریا پس از ساخت بندر است؛ به طوری که لایروبی رسوبات ابانته شده برای تأمین آبخور مورد نیاز کشتی‌ها و استفاده بهینه از بنادر هزینه بسیار زیادی دارد. یکی از مهم‌ترین پارامترها در مسائل مهندسی سواحل انتقال رسوبر است. زیرا گاهی اوقات کمبود مواد رسوی نشان‌دهنده وجود فرسایش در منطقه و در سایر نقاط تراکم مواد، نشان‌دهنده رسوبر گذاری است. در این تحقیق ابتدا از مقایسه تصاویر هوایی، تغییرات خط ساحلی در منطقه بندرلنگه مطالعه می‌شود. سپس با استفاده از مجموعه نرم‌افزاری LITPACK از بسته نرم‌افزاری DHI، داده‌های موج، جریان جزرومده و دانه‌بنده رسوبات به مدل سازی خط ساحلی و میزان رسوبر در منطقه پرداخته می‌شود. نتایج نشان می‌دهد که سواحل اطراف بندرلنگه در سال‌های گذشته تغییرات قابل ملاحظه‌ای نداشته است و این وضعیت با منابع ناچیز رسوی موجود در منطقه در تطابق است.

### واژه‌های کلیدی:

بندرلنگه، رسوبر گذاری، موج و جریان، مدل ریاضی، نرم‌افزار LITPACK

فرسایش ناشی از موج در قسمت‌هایی که تحت تأثیر امواج قرار می‌گیرند. برای بررسی هیدرودینامیک موج و مسئله انتقال رسوبر روش‌های مختلفی وجود دارد که از آن جمله می‌توان روش اندازه‌گیری میدانی، مدل عددی و پیش‌بینی با استفاده از روابط تجربی و ریاضی رانام برد [۳-۱]. پیچیدگی‌ها و تعدد پارامترهای واردشونده در توابع ریاضی موج و انتقال رسوبر در سواحل و تأثیر متقابل سازه و دریا و نیز هزینه‌های اجرایی زیاد سازه‌های دریایی، امری است که ضمن افزایش حساسیت طراحی چنین سازه‌هایی، استفاده از تجربیات دیگران و پندگرفتن از اشکالات موجود در طراحی‌های پیشین را ضروری می‌سازد. در بیشتر نقاط ساحلی ایران و دیگر کشورها مطالعه و بررسی‌های زیادی در زمینه برآورد مقدار رسوبر گذاری انجام گرفته است؛ از آن جمله به

### ۱. مقدمه

یکی از مشکلات بنادر بزرگ و کوچک کشور موضوع رسوبر گذاری در حوضچه و کanal دسترسی بنادر و تغییرات ساحل و بستر دریا پس از ساخت بندر است، به طوری که لایروبی رسوبات ابانته شده برای تأمین آبخور مورد نیاز کشتی‌ها و استفاده بهینه از بنادر هزینه بسیار هنگفتی در بر دارد. شناخت رسوبر و مکانیزم رسوبر گذاری و نحوه مقابله با آن از مقوله‌های بسیار مهم است که باید در زمان طراحی بندر به آن توجه ویژه کرد و جانمایی بنادر با توجه به آن مشخص شود. مهم‌ترین مواردی که در تعیین الگوی تولید و انتقال رسوبر مؤثرند، عبارتند از: منابع تولید رسوبر در دریا، حجم رسوبر تولیدشده، مشخصات فیزیکی و شیمیایی رسوبات، عوامل و مکانیزم انتقال رسوبر در محدوده مورد مطالعه و

نرخ حجمی رسوب منتقل شده ( $m^3/s$ )  $Q$  عبارت است از:

$$Q = K \times P_L \quad (1)$$

که  $P_L$  مؤلفه جریان انرژی موج داخل ناحیه شکست که در اینجا  $P_L = K \cdot H^2$  و  $K$  ضریب تناسب بدون بعد است. قدرت یا جریان انرژی در یک طول واحد تاج موج در امتداد ساحل در زیر ارائه شده است:

$$P_L = (E) \cdot (C_g) = \left( \frac{1}{8} \rho g H^2 \right) \cdot (nc) \quad (2)$$

که  $C_g$  سرعت گروه موج،  $E$  انرژی موج،  $H$  ارتفاع موج،  $n=1$  برای آب کم عمق بین تاج موج،  $\rho$  چگالی آب دریا و  $g$  شتاب گرانش زمین است. در خط شکست جریان انرژی در واحد طول ساحل برابر است با:

$$p_L \cos(\alpha_b) = \frac{1}{8} \rho g H_b^2 n_b C_b \cos(\alpha_b) \quad (3)$$

$\alpha_b$  زاویه موج با ساحل در ناحیه شکست موج،  $H_b$  ارتفاع موج در ناحیه شکست،  $n_b=1$  برای آب کم عمق و  $C_b$  سرعت موج در ناحیه شکست موج است. و در این صورت مؤلفه جریان انرژی موج در طول ساحل (درجهت  $x$ ) در لبه بالایی ناحیه شکست به صورت زیر بیان می‌شود:

$$p_l = p_L C \quad (4)$$

بحث راجع به فرمول CERC اساساً بر روی مقدار مناسب برای ضریب  $K$  و مقدار مناسب برای ارتفاع امواج نامنظم به دلیل ترم  $H_b^2$  همچنان وجود دارد. در مورد امواج نامنظم معمولاً باید از ارتفاع موج  $H_{rms}$  استفاده کرد. هرچند در بیشتر موارد در استفاده از فرمول انتقال رسوب از  $H_s$  در یک توزیع رایلی با عرض باند باریک استفاده می‌شود.

پژوهش‌هایی که در بنادر جنوبی نزدیک منطقه مورد مطالعه و همچنین در بندر لنگه صورت پذیرفته است، اشاره می‌شود و در پایان نتایج تحقیق حاضر با مقادیر بدست آمده از مطالعات پیشین مقایسه می‌گردد [۴].

در تحقیق بررسی مقدار رسوب گذاری در بنادر جوادالائمه، پس از ارزیابی روش‌های مختلف با استفاده از تعدادی از متداول‌ترین فرمول‌های تجربی، نرخ انتقال رسوب برآورده شده است. دقیق‌ترین برآورد در محدوده بندر صیادی جوادالائمه با استفاده از فرمول CREC<sup>1</sup> به دست آمده و پیشنهاد گردیده که در شرایط هیدرودینامیکی و REC مورفولوژیکی مشابه در سواحل جنوبی ایران از فرمول استفاده شود [۵]. در تحقیقی دیگر با استفاده از روش رادیو ایزوتوپ، نرخ رسوب گذاری سالیانه در محدوده بندر لنگه تا چارک و همچنین پهنه‌بندی مناسب ساحلی با توجه به مقدار رسوب گذاری و مورفومتری محیطی در این منطقه مشخص گردیده است [۶]. در تحقیقی دیگر تحلیل فرایندهای رسوبی بنادر لنگه و کنگ مبتنی بر تفسیر مدل‌های مفهومی و عددی ارائه شده است. در این تحقیق به بررسی فرایندهای رسوبی و تغییرات خط ساحلی منطقه بنادر لنگه و کنگ پرداخته شده است. بدین منظور ضمن معرفی فرایندهای رسوبی منطقه موردمطالعه، ارائه روند مطالعات جامع رسوب با تکیه بر کلیه شواهد و اطلاعات موجود و استفاده از همپوشانی و تنوع اطلاعاتی در به کار گیری صحیح نتایج مدل‌های تجربی و عددی لحاظ شده است [۷].

## ۲. مبانی نظری تحقیق

از جمله روابط مشهوری که برای تخمین نرخ انتقال رسوب ساحلی به کار می‌رود، فرمول مشهور CERC است [۱۵-۸]. نحوه محاسبه به این صورت است که میزان انتقال رسوبیات بستر دریا تابعی از شار انرژی در امتداد ساحل است. این مؤلفه خود به سرعت موج در نقطه شکست  $\left( \frac{H_0}{gT^2} \right)$  و زاویه‌ای که موج با خط ساحلی می‌سازد، بستگی دارد (ارتفاع موج در آب عمیق،  $T$  پریود موج و  $g$  شتاب گرانش زمین است).

عمق آب در منطقه شکست است.

$$H_s^2 = 2H_{rms}^2 \quad (5)$$

$$h_b = \left[ \left( H_0^2 C_0 \cos \theta_0 \right) / 2 \right]^{2/5} / g^{1/5} K^{4/5} \quad (10)$$

برای محاسبه زاویه موج با خط ساحل در منطقه شکست از رابطه ۱۱ استفاده می‌شود:

$$\sin \alpha_b = \sqrt{g} \frac{H_b}{\gamma} \times \frac{\sin \alpha_0}{C_0} \quad (11)$$

Lemehaute & koh (۱۹۶۷) رابطه تجربی زیر را براساس داده‌های موج گزارش شده برای ( $\alpha_b$ ) به دست آورند [۲۱-۲۳].

$$\alpha_b = (0.25 + 0.55 H_0 f(g \times T \times T / 2\pi)) \alpha_0 \quad (12)$$

بنابراین می‌توان با استفاده از آمار باد، ارتفاع و احتمال وقوع امواج در هر جهت را برای سرعت‌های مختلف محاسبه کرد و بر اساس شیب متوسط بستر، محاسبات انکسار<sup>۴</sup> و کم‌عمقی<sup>۵</sup> را صورت داد تا به مرحله شکست موج برسد. سپس می‌توان با استفاده از معادله CERC نرخ انتقال رسوب ساحلی را در هر حالت محاسبه کرد [۲۴ و ۲۵].

نرخ خالص<sup>۶</sup> و نرخ ناخالص<sup>۷</sup> رسوب حمل شده: مؤلفه موازی ساحل فلوي انرژي برای زوایای مختلف تابش جبهه موج می‌تواند دو جهت متضاد داشته باشد؛ این موضوع باید در محاسبه حجم رسوب دخالت داده شود.  $Q_L$ : کل حجم سالانه بار چپ نقل و انتقال یافته؛  $Q_r$ : کل حجم سالانه بار راست نقل و انتقال یافته. نرخ ناخالص حمل رسوب در طول ساحل  $Q_g$  از مجموع مقادیر حمل رسوب از راست و چپ از یک نقطه در واحد زمان به دست می‌آید:

$$Q_g = Q_r + Q_L \quad (13)$$

$H_s$ : ارتفاع موج مشخصه<sup>۸</sup>  
 $H_{rms}$ : ارتفاع جذر میانگین مربعات همه ارتفاع‌های موج<sup>۹</sup> وقتی از  $H_{rms}$  در معادله استفاده می‌شود، ضریب K باید دو برابر مقدار ضریب K به کاررفته در حالت  $H_s$  باشد. نمونه‌ها و مدل‌های به کاررفته در گذشته مقدار ۰/۰۲۸ را برای ضریب K نشان داده است (در صورت به کار بردن  $H_s$ ). [۱۶-۱۹].

پارامترهای مورد نیاز [۲۰] جهت استفاده از فرمول :CERC

ارتفاع موج در منطقه شکست ( $H_{br}$ )  
زاویه موج با خط ساحل ( $\alpha_b$ )  
محاسبه سرعت موج در منطقه شکست

$$c_b = \sqrt{(gh_b)} \quad (6)$$

عمق آب در منطقه شکست ( $h_b$ )  
برای محاسبه ارتفاع موج شکست از رابطه زیر می‌توان استفاده کرد:

$$H_b = H_0^{4/5} \left[ \frac{C_g \cos \alpha_0}{\sqrt{\frac{g}{\gamma} \cos \alpha_b}} \right]^{2/5} \quad (7)$$

ارتفاع موج عمیق،  $\alpha_0$  زاویه بین تاج موج و ساحل در ناحیه عمیق و  $C_g$  سرعت گروهی موج است.

$$C_g = \left[ \frac{g T_p}{2\pi} \right] \quad (8)$$

$T_p$  پریود موج غالب و  $\gamma$  اندیس شکست موج است

$$\gamma = \frac{H_b}{h_b} \quad (9)$$

به منظور مطالعه مقدار رسوب‌گذاری در سواحل بندر لنگه ابتدا بر اساس ارزیابی از نتایج حاصل از بازدیدهای میدانی و اطلاعات جمع‌آوری شده، ابعاد مختلف مسائل رسوبی در محدوده بندر لنگه بررسی می‌شود، سپس پتانسیل و نرخ جابه‌جاوی رسوبات در منطقه محاسبه می‌شود؛ در نهایت تغییر شکل سواحل و محدوده‌های رسوب‌گذار و فرسایش پذیر در سواحل اطراف بندر لنگه به کمک شبیه‌سازی ریاضی درآمدت به همراه تغییرات مورفولوژیک، بررسی و تعیین خواهد شد. بر اساس نتایج اندازه‌گیری‌ها و آزمایش‌های میدانی، مشاهدات محلی، تحلیل عکس‌های هوایی و تصاویر ماهواره‌ای می‌توان تصویر اولیه و نسبتاً شفافی از فعل و افعال رسوبی در محدوده طرح به دست آورد. توجه به این نکته لازم است که بندر لنگه، به دلیل قدمت احداث آن، به عنوان یک مدل فیزیکی با اندازه واقعی عمل نموده است و از این بابت پیش‌بینی‌ها و برداشت‌هایی که از شواهد مورفولوژیک قابل حصول است، با واقعیت زمان بهره‌برداری از بندر نزدیکی و انطباق بیشتری خواهد داشت. تصویر ماهواره‌ای نشان‌دهنده وجود یک رودخانه در محدوده بندرلنگه است که سدی نیز روی آن احداث شده است. شکل ۲ نشان‌دهنده موقعیت سد یادشده نسبت به بندر لنگه است. عبور جاده از روی این مسیل و محوشدن مسیل بعد از جاده به سمت دریا حاکی از عدم فعالیت آن در سال‌های طولانی است. از سوی دیگر بر اساس بررسی تصاویر ماهواره‌ای و بازدیدهای میدانی مشخص شده است که سواحل واقع در شرق بندرلنگه در بخش‌هایی کاملاً صخره‌ای و کوهستانی هستند و نقش اکوسیستم آبگیر (شورهزار) در تله کردن و کنترل سیلان‌های ناشی از بارندگی‌های فصلی در بالادست منطقه، حاکی از آن است که توان تولید رسوب در منطقه ناچیز است [۶]. با توجه به این شواهد می‌توان نتیجه گرفت که مقدار رسوباتی که در این ناحیه از خشکی به دریا انتقال می‌یابند ناچیز و

نرخ خالص حمل رسوب در طول ساحل  $Q_n$  از تفاضل مقادیر حمل رسوب از راست و چپ از نقطه در واحد زمان به دست می‌آید:

$$Q_n = Q_r - Q_L \quad (41-1)$$

### ۳. روش تحقیق

#### ۳-۱. منطقه مورد مطالعه

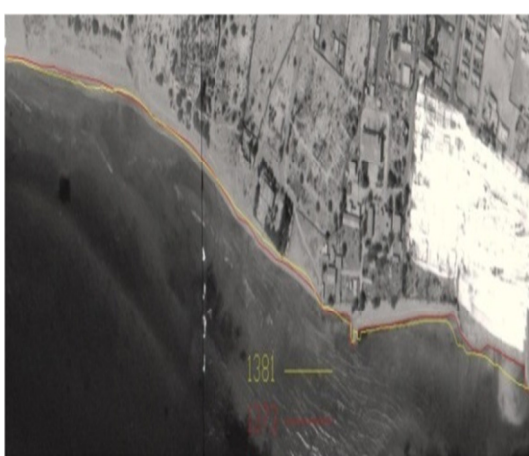
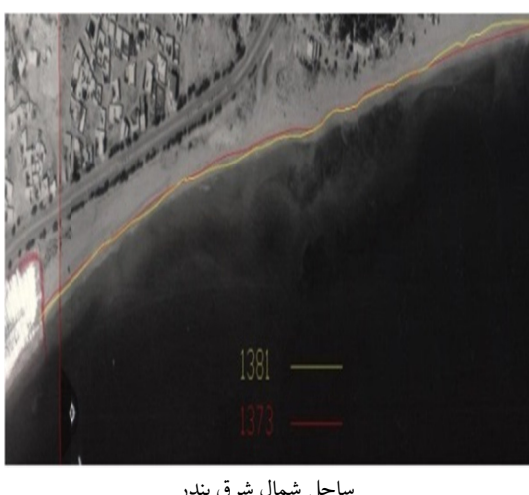
بندر لنگه یکی از شهرهای استان هرمزگان ایران است. این شهر مرکز شهرستان بندر لنگه و بکی از بنادر مهم جنوب کشور به شمار می‌رود و براساس اطلاعات موجود در ۵۴ درجه و ۳۰ دقیقه طول شرقی و در ۲۶ درجه و ۱۸ دقیقه عرض شمالی از نصف‌النهار مبدأ واقع شده است [۷۶].



شکل ۱. منطقه مورد مطالعه



شکل ۲. موقعیت سد نسبت به بندر لنگه



شکل ۳. مقایسه خط مدتگرد در سال‌های ۱۳۸۱ و ۱۳۷۳ در سواحل شمال شرق و جنوب غرب بندر

قابل اغماض هستند. بخشی از رسوباتی که در ادوار گذشته با مکانیزم‌های مختلف بر بستر دریا قرار گرفته‌اند، می‌توانند توسط جریانات دریایی به سمت موقعیت بندر به حرکت درآیند؛ علاوه بر رسوبات نهشنه شده بر سواحل اطراف بندر که چنین قابلیتی دارند، رسوبات ریزدانه‌ای که در مناطق دوردست‌تر قرار دارند نیز می‌توانند خود را به بندر برسانند. یکی از موقعیت‌های دریایی که بالقوه می‌تواند چنین تهدیدی برای بندر لنگه ایجاد نماید، محدوده تنگه خوران است که به واسطه جریان‌های جزرومدی قادر است بخشی از رسوبات خود را به محدوده بندر انتقال دهد.

### ۳-۲. بررسی عکس‌های هوایی و ماهواره‌ای

به منظور کسب اطلاعات بیشتر و بررسی شواهد تاریخی تغییر شکل سواحل در محدوده مورد مطالعه، عکس‌های هوایی تهیه شده توسط سازمان نقشه‌برداری در سال‌های ۱۳۷۳ و ۱۳۸۱ اخذ و بررسی و تحلیل شد. این عکس‌ها ابتدا در دستگاه مختصات UTM<sup>۸</sup> ژئوفرنس و موzaییک شد. به منظور مقایسه روند تغییر شکل ساحل در سال‌های مذکور لازم است یک خط تراز رقومی مشخص با یکدیگر مقایسه شود. خط مرزی بین آب و خشکی (خط آب) به راحتی از عکس‌های هوایی قابل تشخیص است؛ در شکل ۳ که تصویر پس زمینه آن مربوط به سال ۱۳۷۳ است، موقعیت خط مدتگرد در سال‌های ۷۳ و ۸۱ به ترتیب با رنگ‌های قرمز و زرد نشان داده شده است.

این مقایسه نشان می‌دهد که خط مدتگرد و به تبع آن شکل ساحل در این دو سال تغییر قابل ملاحظه‌ای نکرده است. ولی فرسایش در پایین دست و رسواب گذاری در بالا دست در برخی نقاط مشهود است [۲۶].

از  $T_P^{''}$  و  $T_Z^{''}$  به عنوان پریود موج غالب استفاده شود. از دیگر داده‌های ورودی مدل LITDRIFT اطلاعات مربوط به پروفیل بستر دریا در امتداد عمود بر ساحل است. این داده‌ها شامل هیدروگرافی، اندازه متوسط ذرات تشکیل دهنده بستر  $D$ , زیری بستر<sup>۴</sup> که تابعی از  $n_{50}$  است، سرعت سقوط<sup>۵</sup> ذرات تشکیل دهنده بستر که تابعی از  $n_{50}$   $D$ , چگالی ذرات و دمای آب است. ضریب پراکندگی هندسی<sup>۶</sup> که تابعی از دانه‌بندی ذرات است نیز لحاظ می‌شود [۲۸ و ۲۹].

#### ۳-۴. داده‌های استفاده شده

امتداد غالب خط ساحل و زاویه خط عمود بر ساحل نسبت به شمال به مقدار  $144^{\circ}$  و بر اساس شکل ۴ به مدل وارد شده است.



شکل ۴. زاویه امتداد غالب ساحل نسبت به شمال

داده‌های نمونه‌برداری رسواب که خلاصه نتایج حاصل از این اندازه‌گیری میدانی در شکل‌های ۵ و ۶ نشان داده شده است؛ به مدل وارد شده اند. فاصله ۸۰۰ متر در دو طرف بندر در این نمونه‌برداری پوشش داده شده است. در نزدیک موج‌شکن‌ها در هر دو سوی بندر سه خط عمود بر ساحل با فاصله ۱۰۰ متر و سه خط دیگر در ادامه و با فاصله ۲۰۰ متر مسیرهای نمونه‌برداری را تشکیل داده‌اند. روی هر خط در اعمق  $-1$ ،  $-3$ ،  $-5$  و  $-7$  متر نسبت به تراز متوسط آب (MSL)<sup>۷</sup> نمونه‌برداری از رسوبات بستر

### ۳-۳. تخمین میزان رسواب گذاری توسط مدل ریاضی

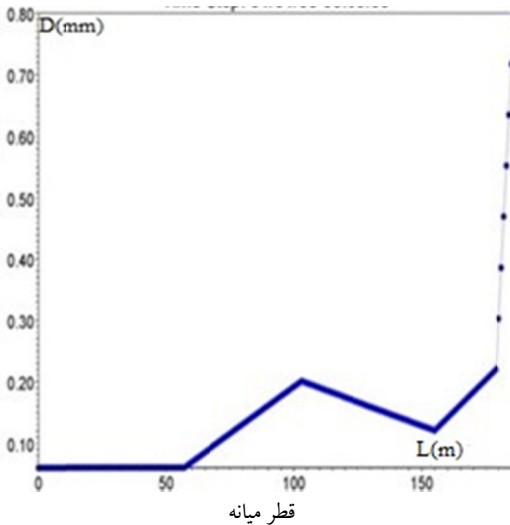
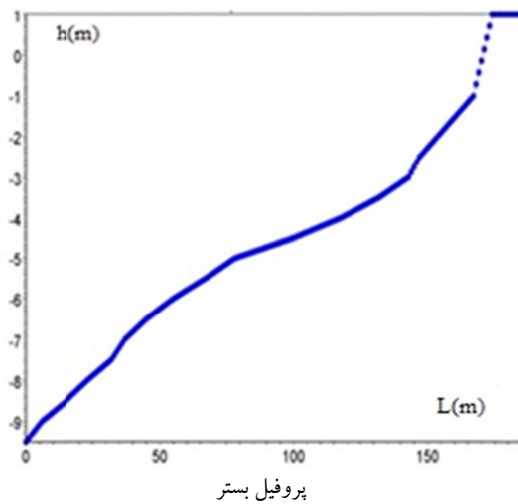
با استفاده از مدل LITDRIFT از مجموعه نرم‌افزارهای LITPACK می‌توان پتانسیل نرخ انتقال رسواب موازی ساحل را محاسبه کرد [۲۷]. در این مدل‌سازی از رابطه CERC استفاده می‌شود. این مدل، مدلی یک‌بعدی است که شامل دو قسمت عمده، مدل هیدرودینامیک و مدل انتقال رسواب است [۲۴ و ۲۶].

این مدل هیدرودینامیکی قادر به محاسبه پدیده‌های انکسار امواج، کاهش عمق، شکست امواج، تنش‌های تشعشعی، خیزآب ناشی از موج<sup>۸</sup> و سرعت جریان‌های موازی ساحل است. مدل انتقال رسواب نیز مقدار انتقال رسواب را با در نظر گرفتن اثر همزمان موج و جریان محاسبه می‌کند.

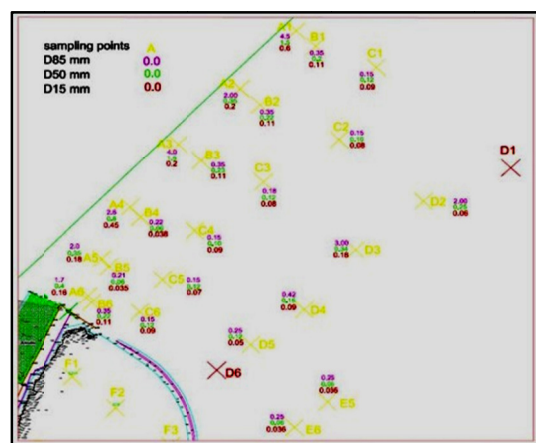
اساس این مدل بر تئوری Fredsoe 1986 در مورد نحوه لایبنندی جریان برای در نظر گرفتن اثر آشفتگی همزمان موج و جریان قرار دارد. در این نظریه عمق به دو ناحیه نزدیک به بستر و خارج از آن تقسیم‌بندی می‌گردد [۱۲].

در LITDRIFT اطلاعات موج را می‌توان به شکل جدول گلموج یا به شکل سری زمانی ای از اطلاعات موج به مدل معروفی کرد. در روش اول اطلاعات موج در بازه‌های مختلف بر اساس مقدار زاویه و ارتفاع موج و پریود تقسیم‌بندی می‌گردد. سپس احتمال وقوع هر دسته بر اساس تعداد دفعات تکرار تعیین می‌شود. در روش دوم اطلاعات موج به صورت سری زمانی کاملی است که در آن هر مؤلفه سری دارای اطلاعات ارتفاع، زاویه و پریود موج در گام زمانی سری است. در این سری‌ها احتمال وقوع همه مؤلفه‌ها برابر با درصد وقوع گام زمانی در کل بازه زمانی سری است. روش دوم به روش اول برتری دارد، زیرا در این روش اطلاعات موج واقعی تر است؛ اما باید توجه داشت که این روش باعث افزایش شایان توجه زمان اجراء‌های مدل می‌شود. در این مدل اطلاعات موج را می‌توان به صورت امواج منظم<sup>۹</sup> و نامنظم<sup>۱۰</sup> معرفی کرد. در حالت معرفی امواج به صورت نامنظم نیز می‌توان از روش Battjes and Janssen Rayleigh صورت استفاده از هر حالت یکی از این روش‌ها به ترتیب باید

پروفیل بستر رسوی که در محاسبات انتقال رسوی استفاده شده است بر نقاط A3 تا D3 (شکل ۵) منطبق است. قطرهای مشخصه D15، D50 و D85 در هریک از موقعیت‌های A3 تا D3 با متوسط‌گیری از قطرهای مشخصه نظیر در اعماق مشابه در میدان نمونه‌برداری رسوی در سمت شمال شرق بندر تعیین شده است. سرعت سقوط و بقیه پارامترهای وابسته به قطر رسویات نیز بر این مبنای محاسبه شده است. همگی این مشخصات در شکل ۷ نشان داده شده است. لازم به ذکر است که در این شکل محور افقی، شماره گره محاسباتی را نشان می‌دهد. گام مکانی محاسبات ۵ متر اختیار شده است.



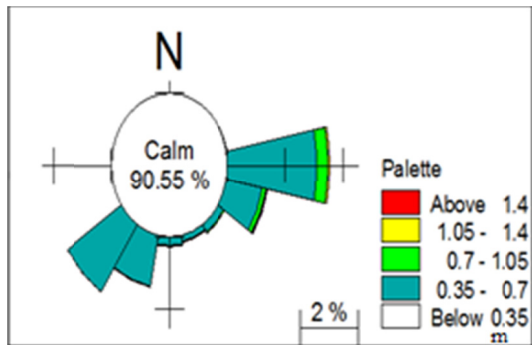
انجام گرفته و جنس و دانه‌بندی نمونه تعیین شده است. در شکل‌های ۵ و ۶ نقاطی که با رنگ قرمز نشان داده شده‌اند دارای بستر سنگی هستند. نتایج نشان می‌دهد که در ساحل شمال شرق بندر دو نقطه D1 و D6 سنگی و بقیه نقاط دارای پوشش رسوی هستند. دانه‌بندی ذرات رسوی در این سوی بندر کاملاً غیریکنواخت است، به‌شکلی که قطر میانه رسویات از  $0.06 \text{ m}$  تا  $1.5 \text{ m}$  میلی‌متر متغیر است. ذرات رسویی ریزدانه‌تر عمدتاً دور از ساحل و درشت‌دانه‌ها در نزدیک ساحل قرار دارند. در سمت جنوب غرب بندر به غیر از اولین خط نمونه‌برداری در نزدیک موج شکن، بقیه نقاط عمدتاً سنگی هستند (نزدیک به  $70^\circ$  درصد نقاط).



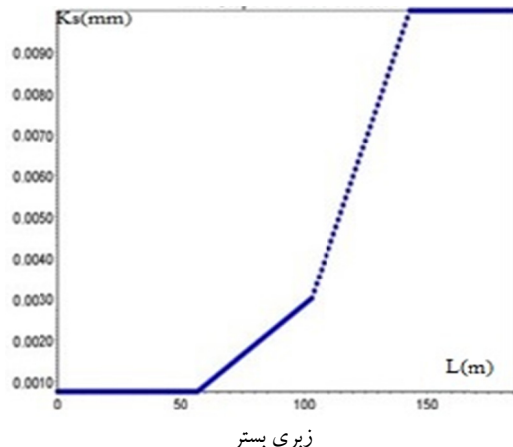
شکل ۵ نتایج نمونه‌برداری رسویات بستر سمت شمال شرق بندر



شکل ۶ نتایج نمونه‌برداری رسویات بستر سمت جنوب غرب بندر

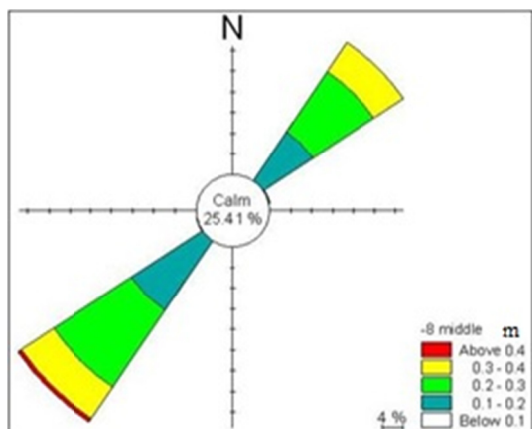


شکل ۸ گلموج منطقه مورد مطالعه، اعمال شده در مدل

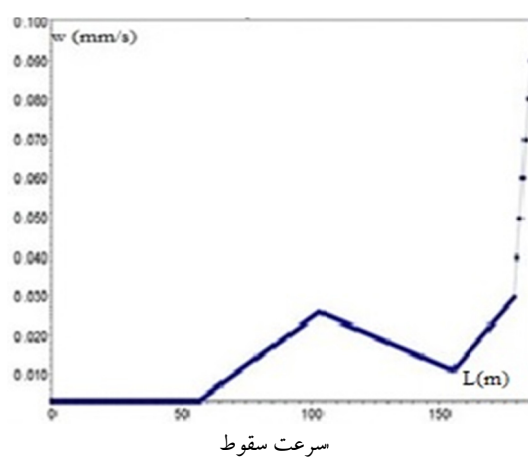


زیری بستر

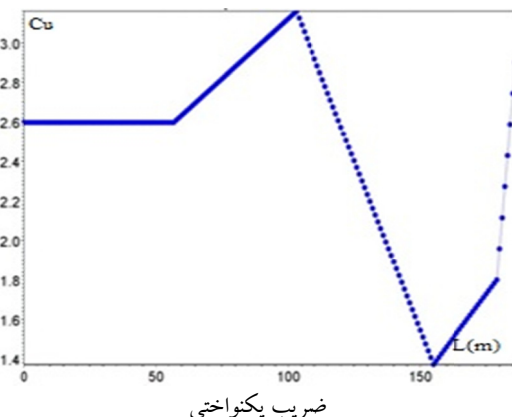
جهت بررسی اثر سرعت جریان‌های جزرومدی در تخمین نرخ انتقال رسوب، یک سیکل کامل جزرومدی شامل دو مد و دو جزر در نظر گرفته شد. حد متوسطی بین مقادیر ناشی از کشنند بیشینه<sup>۱۹</sup> و کشنند کمینه<sup>۲۰</sup> به عنوان سیکل معرف متوسط سالیانه انتخاب شده است. مدل‌سازی و شبیه‌سازی نوسانات جزرومدی و تراز آب و سرعت جریان از مدل سراسری خلیج فارس [۳۰] و ماثول هیدرودینامیک HD از افزار MIKE-21 به دست آمده است [۲۷]. یک نقطه در عمق ۸ متری، واقع در ساحل شمال شرق بندر که الگوی جریان تحت تأثیر موج شکن‌ها قرار ندارد، به عنوان موقعیت معرف جریان‌های جزرومدی انتخاب گردید. شکل ۹ گل جریان جزرومدی را در عمق ۸ متری نسبت به CD در ساحل شمال شرق بندر نشان می‌دهد.



شکل ۹. گل جریان جزرومدی در عمق ۸ متر نسبت به CD در سمت شمال شرق بندر



سرعت سقوط



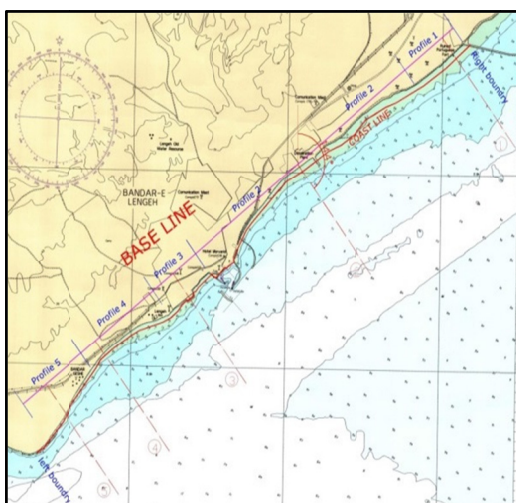
ضریب یکنواختی

شکل ۷. مشخصات بستر رسوبی در محاسبه نرخ انتقال رسوب

الگوی امواج اعمال شده در مدل از مدل‌سازی امواج با استفاده از اطلاعات باد ایستگاه هواشناسی بندر لنگه و سیری و ابوموسی از مدل ECMWF هواشناسی<sup>۱۸</sup> و همچنین مدل MIKE21-SW به دست آمده است. این الگو در شکل ۸ مشخص شده است [۳۰، ۲۷، ۲۶].

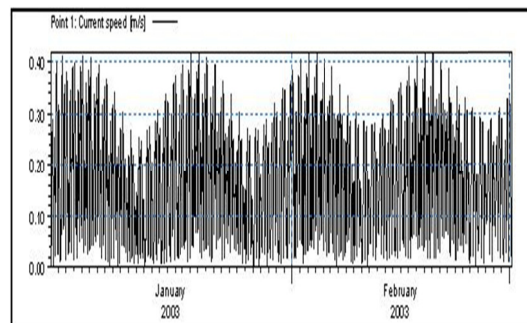
LITPACK استفاده شده است. مدل ریاضی مذکور مبتنی بر تئوری تک خطی تغییرات مورفولوژیک در سواحل است. این مدل قادر است تغییر شکل بلندمدت خط ساحل را تحت تأثیر اقلیم هیدرودینامیک موجود در منطقه و با لحاظ کردن تأثیرات سازه هایی چون موج شکن ها، آب شکن ها، دیوارهای ساحلی و .... محاسبه کند [۲۶].

در اجرای مدل ریاضی مورفولوژی، خط ساحل اولیه با استفاده از نقشه هیدرو گرافی اخذ شده از سازمان نقشه برداری کشور مطابق شکل ۱۳ تعیین گردید. خط ساحل منطبق بر تراز متوسط آب در نقشه مذکور در نظر گرفته شده است و با رنگ قرمز در شکل ۱۳ نشان داده شده است. در این شکل موقعیت خط مرجع<sup>۲۲</sup> و پروفیل های بستر دریا که در مدل سازی به کار رفته نیز نشان داده شده است. زاویه بین عمود بر خط مرجع و شمال ۱۴۴° است. مشخصات پروفیل بستر دریا همان طور که در شکل ۱۳ نشان داده شده است، با توجه به وضعیت شیب ساحل و الگوی خطوط تراز بستر دریا و پنج پروفیل معرف، برای بازه های مختلف محدوده مدل سازی در نظر گرفته شد. مرزهای جانبی موقعیت موج شکن غربی بندر کنگ به عنوان مرز سمت شمال شرق و نزدیک ترین دماغه به بندر لنگه به عنوان مرز جنوب غرب مدل مورفولوژی تعیین شده است. اقلیم موج مطابق آنچه در بخش ۴-۳ ذکر شد، لحاظ گردید.

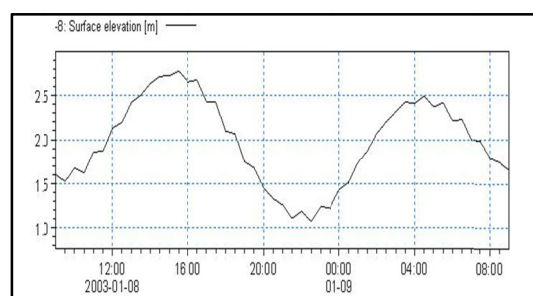


شکل ۱۳. موقعیت خط مرجع، خط ساحل و پروفیل های معرف

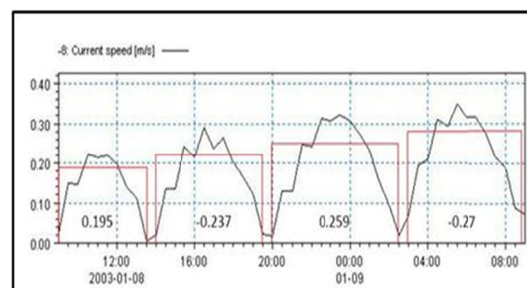
شکل های ۱۰، ۱۱ و ۱۲ موقعیت زمانی، ترازها و سرعت های جزرومد اعمال شده به مدل انتقال رسوب را نمایش می دهد. لازم به ذکر است که در هر دوره مدد و جزر یک سرعت متوسط مطابق شکل در مدل انتقال رسوب اعمال شده است.



شکل ۱۰. موقعیت زمانی بین کشنهای کمینه و بیشینه



شکل ۱۱. موقعیت زمانی و تراز جزرومد



شکل ۱۲. سرعت جریان های جزرومدی

### ۳-۵. تخمین میزان تغییر شکل سواحل منطقه مورد مطالعه توسط مدل ریاضی

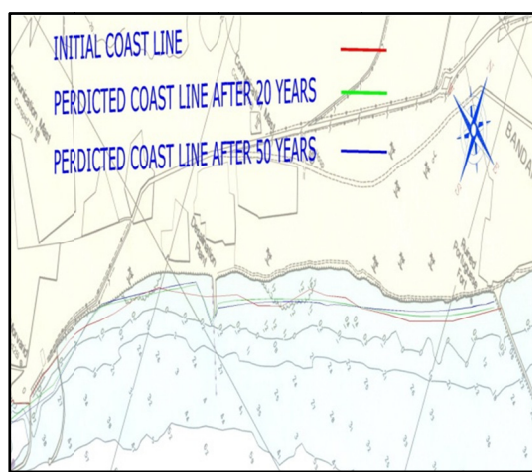
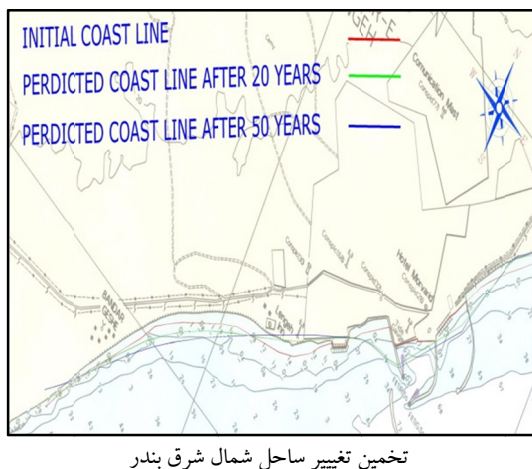
در محاسبات مربوط به تغییر شکل سواحل اطراف بندر از مدل ریاضی LITLINE [۳۱] از مجموعه نرم افزارهای

کم بودن ضخامت رسوبات و کمتر شدن مقادیر محاسبه شده زیاد است.

جدول ۱. نرخ انتقال رسوب سالیانه در سواحل اطراف بندر لنگه

Annual sediment transport	wave	Wave+current
Accumulative Gross (M <sup>3</sup> /Year)	۱۷۶۵۰	۵۷۶۰۳
Accumulative net (M <sup>3</sup> /Year)	۱۰۹۵۷	۶۱۸۶

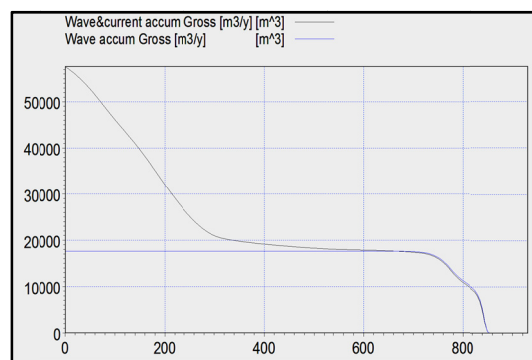
نتایج حاصل از مدل‌سازی مورفوژئیک بندر لنگه توسط مدل ریاضی برای ۲۰ و ۵۰ سال آینده در ساحل شمال شرقی و جنوب غربی بندر مطابق شکل ۱۶ از نرم‌افزار LITLINE به دست آمده است.



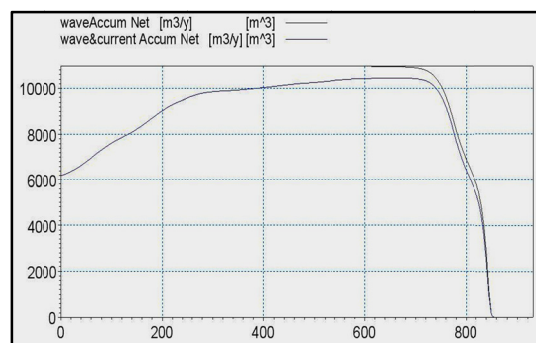
شکل ۱۶. نتایج حاصل از مدل‌سازی مورفوژئیک

#### ۴. نتایج

نتایج اجرای مدل انتقال رسوب در دو حالت لحاظ کردن اثر جریان‌های جزو مردمی و بدون لحاظ کردن آن در شکل‌های ۱۴ و ۱۵ نشان داده شده است. نرخ خالص و نرخ ناخالص انتقال رسوب سالانه بدون درنظر گرفتن اثر این جریان‌ها به ترتیب حدود ۱۰۹۵۷ و ۱۷۶۵۰ متر مکعب در سال به دست آمده است، سپس با در نظر گرفتن اثر جریان‌ها نرخ خالص و ناخالص انتقال رسوب به ترتیب حدود ۶۱۸۶ و ۵۷۶۰۳ متر مکعب در سال برابر در گردیده است.



شکل ۱۴. مقادیر ناخالص نرخ انتقال رسوب تجمعی



شکل ۱۵. مقادیر خالص نرخ انتقال رسوب تجمعی

همان‌گونه که جدول ۱ نشان می‌دهد مقادیر خالص نرخ انتقال رسوب در سواحل اطراف بندر لنگه کم است. باید توجه داشت که مقادیر فوق پتانسیل حمل رانشان می‌دهد و در صورتی که ضخامت لایه رسوبی پوشش دهنده بستر کم باشد، این مقادیر کمتر خواهد بود. به دلیل مشاهده بستر سنگی در کنار بستر رسوبی، احتمال

روشی نو در تعیین جانمایی بهینه بنادر از منظر مسئله مهم رسوب گذاری در محدوده بندر لنگه تا چارک، قربت و مطابقت کاملی دارند؛ در نهایت به دلیل پایین بودن نرخ رسوب گذاری منطقه مورد مطالعه - حدود ۲ میلی متر در سال - و دسترسی به امکانات زیر بنایی، منطقه مورد مطالعه یکی از بهینه‌ترین نقاط برای ایجاد یا توسعه بندری در بخش شمال خلیج فارس است [۶].

## ۶. سپاسگزاری

در اجرای نقشه جامع علمی کشور و در راستای ایفای نقش مرجعیت علمی سازمان بنادر و دریانوری در امور بندری، دریایی، کشتیرانی و بازرگانی، این مقاله با حمایت علمی و مادی سازمان بنادر و دریانوری به انجام رسیده است.

## مراجع

- [۱] محجوبی جواد، اردلان صمغی حسین. پیش‌بینی پارامترهای امواج ناشی از باد در دریای خزر با استفاده از روش درختان تصمیم رگرسیونی و شبکه‌های عصبی مصنوعی. مهندسی دریا. ۱۳۸۸؛ ۷۱: ۶۵-۷۱.
- [۲] صادقی فر طیب، آزم رم سا سیدعلی. تخمین آهنگ انتقال رسوب در امتداد ساحل با استفاده از مدل‌های محاسباتی نرم. مهندسی دریا. ۱۳۹۳؛ ۱۰: ۵۹-۶۹.
- [۳] افشار کاوه نغمه، سلطان پور محسن. بررسی روابط نرخ انتقال رسوب موازی ساحل در خلیج فارس. ارائه شده در: چهارمین کنگره مهندسی عمران دانشگاه تهران؛ ۱۳۸۷ اردیبهشت ۱۷-۱۹؛ تهران، ایران.
- [۴] ایزد پناه هادی. بررسی پدیده رسوب‌گذاری در بنادر صیادی استان بوشهر [پایان نامه]. مشهد: دانشگاه فردوسی مشهد؛ ۱۳۷۵.

## ۵. بحث و نتیجه‌گیری

شرق بندرلنگه در بخش‌هایی کاملاً صخره‌ای و کوهستانی بوده و وجود شوره‌زارها (آبگیر) در تله کردن رسوبات (اعم از بادی و آبی) حاصل از بارندگی‌های فصلی در بالادست منطقه نشان می‌دهد توان تولید رسوب در منطقه ناچیز است [۶]. در عکس‌های هوایی زمین مرتع شده مربوط به سال‌های ۱۳۷۳ و ۱۳۸۱ که در آن خط مد متوسط به عنوان خط تراز رقومی مشخص مقایسه شده بود، در شکل ساحل تغییر قابل ملاحظه‌ای مشاهده نگردید. ولی رسوب گذاری در بالادست (سمت شمال شرق بندر) و فرسایش در پایین دست (سمت جنوب غرب بندر) در برخی نقاط مشهود است. دانه‌بندی ذرات رسوبی نیز در قسمت شمال شرق بندر غیریکنواخت است، به شکلی که قطر میانه رسوبات از ۰/۰۶ تا ۱/۵ میلی متر متغیر بوده و ذرات رسوبی ریزتر عمدها دور از ساحل و درشت‌دانه‌ها نزدیک ساحل قرار دارند و در قسمت جنوب غرب بندر عمده نقاط (نزدیک ۷۰ درصد) دارای بستر سنگ رسوبی است. مقادیر خالص نرخ انتقال رسوب به دست آمده از مدل ریاضی LITDRIFT در سواحل اطراف بندر لنگه با احتساب موج ۱۰۹۵۷ متر مکعب در سال و با احتساب موج و جریان ۶۱۸۶ متر مکعب در سال است که این مقدار کم بوده و باید توجه داشت که این مقادیر پتانسیل حمل را نشان می‌دهند و چون ضخامت لایه رسوبی پوشش دهنده بستر کم است، مقادیر فوق کمتر نیز خواهد بود؛ به دلیل مشاهده بستر سنگی در کنار بستر رسوبی، احتمال کم بودن ضخامت رسوبات و کمتر شدن مقادیر محاسبه شده در بخش نتایج زیاد است. تغییرات پیش‌بینی شده خط ساحل نیز نشان می‌دهد که به دلیل نرخ کم انتقال رسوب، جایه‌جایی خط ساحل نیز ناچیز خواهد بود. این مسئله در انطباق با شواهد مورفوژئیک و نتایج حاصل از بررسی و مقایسه عکس‌های هوایی است. همچنین نتایج و مقادیر به دست آمده از این تحقیق، با پژوهش‌هایی همچون تحلیل فرایندهای رسوبی بنادر لنگه و کنگ مبتنى بر تفسیر مدل‌های مفهومی و عددی [۷] و

- beach topography change. Proceedings of Coastal Sediments. ASCE; 1991. p.1814-28
- [17] Van Rijn LC. Estuarine and coastal sedimentation problems. International Journal of Sediment Research. 2005;20(1):39-51.
- [18] Chanson H. The Hydraulics of Open Channel Flow. London: Arnold; 1999. P.195-209
- [19] Jamal MH. Prediction of Sedimentation Rates in a Navigation Channel [dissertation]. Univ. Tekhnologi Malaysia; 2005.
- [۲۰] چگینی وحید. نظریه های موج. شرکت جهاد تحقیقات آب و آبخیزداری؛ ۱۳۷۷. ص. ۹۶-۱۲۷. (مجموعه کتابهای مهندسی دریا؛ ۱).
- [21] Watanabe A, editor. 3-dimensional numerical model of beach evolution. Coastal Sediments; 1987. ASCE; 1987. p. 801-17.
- [22] Nielsen P. Coastal bottom boundary layers and sediment transport. World Scientific Publishing Co Inc; 1992.
- [23] Van De Graaff J, Van Overeem J. Evaluation of sediment transport formulae in coastal engineering practice. Coastal Engineering. 1980;3:1-32.
- [۲۴] شاه نوری سمیه. بررسی الگوی انتقال رسوب در منطق ساحلی نوشهر [پایان نامه]. تهران: دانشگاه آزاد اسلامی تهران شمال؛ ۱۳۹۰.
- [۲۵] شیعه مریم، چگینی وحید. رده بندی سواحل با ختری استان هرمزگان به روشن های هانسن و هایس. علوم زمین. ۱۳۹۴؛ ۲۵(۹۷):۲۵۱-۲۵۶.
- [26] Khakbaft Consultant Engineers .Sediment Study of Lengeh Port, Unpublished technical report Submitted to Port & Maritime Organization. 2009.
- [27] MIKE21 Litdrift [computer program]. Denmark: Danks Hydraulisk Institut; 2012.
- [۵] حسینی نژاد حسن. بررسی وضعیت انتقال رسوب در بندر صیادی جواد الائمه. ارائه شده در: هفتمین همایش بین المللی سواحل بنادر و سازه های دریایی؛ ۱۳۸۵ آذر ۶-۸؛ تهران، ایران.
- [۶] فیاض آذر مسعود. روشهای نو در تعیین جانمایی بهینه بنادر از منظر مساله مهم رسوب گذاری [پایان نامه]. تهران: دانشگاه تهران؛ ۱۳۸۳.
- [۷] پارسا رضا، شانه ساز زاده احمد، اردلان حسین. تحلیل فرآیندهای رسوبی بنادر لنگه و کنگ مبتنی بر تفسیر مدل های مفهومی و عددی. مهندسی دریا. ۱۳۹۲؛ ۹(۱۷):۹۵-۱۰۳.
- [8] Graf WH. Hydraulics of sediment transport. Water Resources Publication; 1984.
- [9] Balson PS, Collins MB, editors. Coastal and shelf sediment transport. Geological Society of London; 2007
- [10] Fredsoe J, Deigaard R. Mechanics of coastal sediment transport. World Scientific; 1992. p.194-227.
- [11] Liu PL. Advances in coastal and ocean engineering. World Scientific; 1999.
- [12] Engineers UACO. Coastal engineering manual. Engineer Manual. 2002.
- [13] Bayram A, Larson M, Miller HC, Kraus NC. Cross-shore distribution of longshore sediment transport: comparison between predictive formulas and field measurements. Coastal Engineering. 2001;44(2):79-99.
- [14] Gyr A, Hoyer K. The classical representation of the sediment transport. Sediment Transport: A Geophysical Phenomenon. Springer Netherlands; 2006. p.19-32.
- [15] Raudkivi AJ. Sedimentation: exclusion and removal of sediment from diverted water. CRC Press; 1993. p.6-29.
- [16] Watanabe A, Shimizu T, Kondo K, editors. Field application of a numerical model of

**پی‌نوشت**

1. Coastal engineering research center
- 2.Significant wave high
- 3.Root mean square wave high
4. Refraction
5. Shoaling
6. Net rate
7. Gross rate
- 8.Universal transverse mercator
9. Wave set up
10. Regular
11. Irregular
- 12.Significant wave period
- 13.Zero up-crossing period
14. Bed roughness
15. Fall velocity
16. Geometrical spreading factor
17. Middle sea level
- 18.European center for medium range weather forecasting
19. Spring tide
20. Neap tide
21. Chart datum
22. Base line

[۲۸] سلسی بی ریچارد. دینامیک ماسه های دریایی [سید]

علی آزم سا ، مترجم]. دانشگاه تربیت  
مدرس؛ ۱۳۸۱؛ ص. ۷۴-۲۱.

[۲۹] چگینی وحید. انتقال رسوب. موسسه ملی اقیانوس  
شناسی؛ ۱۳۹۰. ص. ۷۷-۷۵.

[30] Iran Port and Maritime Organization. Iranian  
seas Wave Modeling ,Persian Gulf & Oman  
Sea.1992-2003. (vol.2)

[31] MIKE21 Litline [computer program].  
Denmark: Danks Hydraulisk Institut; 2012.